

ТЕПЛОТЫ И ЭНТРОПИИ ФАЗОВЫХ ПРЕВРАЩЕНИЙ И ОБРАЗОВАНИЯ КАРБОНИЛЬНЫХ СОЕДИНЕНИЙ

В литературе имеются часто противоречивые сведения по термодинамическим свойствам тетракарбонила никеля и пентакарбонила железа. Не учтены многие систематические ошибки также при изучении гексакарбонилов металлов. В этой связи представляется необходимым критическое рассмотрение уже существующих величин и постановка более точных исследований. В течение последних лет проводятся систематические исследования карбонильных соединений [1 - 4].

Накопленный экспериментальный материал позволил рассчитать ряд термодинамических характеристик и прийти к выводу, что большинство известных в настоящее время карбонилов металлов имеют в парах димерные формы молекул. В данной работе исследования по изучению насыщенного и ненасыщенного пара проведены в широком интервале температур и давлений с помощью статического метода с мембранным нуль-манометром. В экспериментальных исследованиях использовали пассивирующее влияние окиси углерода на термораспад карбонилов металлов, в результате чего были получены более точные, чем в ранее опубликованных работах, данные по давлению пара и термодинамическим характеристикам $M_{2n}^{(CO)}_2$ (табл. 1, 2).

Основываясь на экспериментальных данных по теплоемкостям твердых и газообразных соединений $Cr(CO)_6$ и $Mo(CO)_6$ [5], мы нашли средние значения ΔC_p сублимации, соответственно равные $-7,5 \pm 0,6$ ккал/моль·град. Для $W(CO)_6$ принята последняя величина. Полученные значения ΔH°_{298} и ΔS°_{298} приведены в табл. 2. Расчет стандартных значений энталпии и энтропии декакарбонилов подгруппы марганца основан на оценочном значении ΔC_p сублимации и испарения [6]. За основу взяты значения теплоемкости пентакарбонила железа [7], молекула которого имеет сходство по форме с радикалом

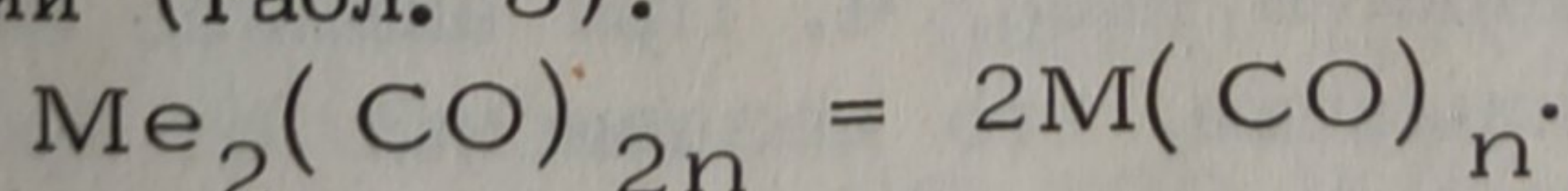
Таблица 1. Энталпии и энтропии процессов фазовых превращений

Процесс	ΔH_{298}° , ккал/моль	ΔS_{298}° , э. е.
$Ni(CO)_4$ (субл.)	$10,43 \pm 0,05$	$35,20 \pm 15$
$Ni(CO)_4$ (пл.)	3,306	12,50
$Ni(CO)_4$ (исп.)	$7,12 \pm 0,05$	$22,68 \pm 0,15$
$Co_2(CO)_8$ (субл.)	$24,80 \pm 0,30$	$67,4 \pm 0,9$
$Fe(CO)_5$ (субл.)	$12,50 \pm 0,15$	$37,30 \pm 0,35$
$Fe(CO)_5$ (пл.)	$3,25 \pm 0,10$	$12,50 \pm 0,10$
$Fe(CO)_5$ (исп.)	$9,35 \pm 0,15$	$24,82 \pm 0,25$

Примечание. Испарение $Ni(CO)_4$ в интервале 4–40°C. $T_{\text{кип}} = 43,30 \pm 0,05$ °C. Испарение $Fe(CO)_5$ в интервале от –7 до 80°C; $T_{\text{кип}} = 104,70 \pm 0,10$. Сублимация $Co_2(CO)_8$ в интервале 15–42°C.

$Me(CO)_5$ ($\Delta C_p = -13$ кал/моль·град). Вращательно-колебательная составляющая связи металл – металл оценена в 5 кал/моль·град и удельная теплоемкость ΔC_p испарения составляет – 21 кал/моль·град.

Расчет парциальных давлений пара мономерных и димерных форм карбонилов металлов основан на данных по суммарному давлению и средней молекулярной массе карбонила в парах. Установленные значения парциальных давлений использовали для расчета констант, энталпии и энтропии процесса диссоциации (табл. 3):



Небольшой температурный интервал исследований ненасыщенного пара (ограниченный невысокой степенью полимеризации и термораспадом гексакарбонилов) даже в присутствии окиси углерода не позволяет надежно установить зависимость $lg K = f(1/T)$ процесса диссоциации димера. Поэтому в наших расчетах по уточнению термодинамических характеристик были использованы данные по энтропии процесса диссоциации

Таблица 2. Энталпии и энтропии фазовых превращений

Процесс	T, °C	ΔH_t° , ккал/моль
$\text{Cr}(\text{CO})_6$ (субл.)	50-140	$16,36 \pm 0,25$
$\text{Mo}(\text{CO})_6$ (субл.)	70-137	$16,42 \pm 0,10$
$\text{W}(\text{CO})_6$ (субл.)	60-160	$17,78 \pm 0,15$
$\text{Mn}_2(\text{CO})_{10}$ (субл.)	100-155	$15,7 \pm 0,2$
$\text{Mn}_2(\text{CO})_{10}$ (исп.)	155-190	$14,5 \pm 0,3$
$\text{Mn}_2(\text{CO})_{10}$ (пл.)	155	$1,2 \pm 0,7$
$\text{Re}_2(\text{CO})_{10}$ (субл.)	100-181	$18,5 \pm 0,1$
$\text{Re}_2(\text{CO})_{10}$ (исп.)	181-200	$16,4 \pm 0,4$
$\text{Re}_2(\text{CO})_{10}$ (плав.)	181	$2,1 \pm 0,6$
$\text{MnRe}(\text{CO})_{10}$ (субл.)	90-167	$16,9 \pm 0,5$
$\text{MnRe}(\text{CO})_{10}$ (исп.)	167-190	$13,7 \pm 0,4$
$\text{MnRe}(\text{CO})_{10}$ (пл.)	167	$3,2 \pm 0,9$

гексакарбонилов, установленные вблизи температуры кипения, и корреляции для родственных соединений $\text{Ni}(\text{CO})_4$, $\text{Fe}(\text{CO})_5$, $(\text{C}_5\text{H}_5)\text{Mn}(\text{CO})_3$ (рис. 1). Полученные значения ΔH_t° и ΔS_t° приведены в табл. 3. В расчетах стандартных значений энталпии и энтропии сублимации димерной формы удваивалась удельная теплоемкость ΔC_p мономерной формы и вычиталась ΔC_p колебательной и вращательной составляющих (5 кал/моль·град). Результаты расчетов ΔH_{298}° и ΔS_{298}° сублимации мономерной и димерной форм представлены в табл. 4. При анализе литературных данных обращает внимание, что независимо от времени установления теплоты образования числовые значения подразделяются по методам, использованным при их определении.

Заниженными являются величины ΔH_t° , полученные из равновесия. Как было показано в [8], в присутствии мелкодисперсного порошка "равновесие" наступает при более низких давлениях и часто на несколько порядков ниже давления, отве-

карбонилов металлов элементов шестой и седьмой групп

ΔS_{T}° , э. е.	ΔH_{298}° , ккал/моль	ΔS_{298}° , э. е.
38,35 ± 0,80	16,90 ± 0,40	40,9 ± 0,7
38,35 ± 0,30	16,97 ± 0,20	41,1 ± 0,4
39,70 ± 0,30	18,33 ± 0,30	42,5 ± 0,3
31,2 ± 0,5	16,8 ± 0,6	34,1 ± 0,5
28,7 ± 0,6	15,2 ± 0,3	30,2 ± 1,1
2,5 ± 1,6	-	-
35,0 ± 0,5	20,2 ± 0,2	39,1 ± 0,5
30,2 ± 0,6	17,0 ± 0,6	31,5 ± 0,6
4,8 ± 1,1	-	-
33,1 ± 0,7	18,9 ± 0,5	38,9 ± 0,7
25,6 ± 0,8	14,2 ± 0,4	34,3 ± 0,8
7,5 ± 1,5		

Таблица 3. Энталпии, энтропии и коэффициенты уравнения
 $\lg K = -\frac{A}{T} + B$ процесса диссоциации димера

Соединение	ΔT , °C	ΔH_{T}° , ккал/моль	ΔS_{T}° , э. е.	A	B
$\text{Ni}(\text{CO})_4$	0-60	5,70 ± 0,3	24,2 ± 1,0	1245,9	5,2896
$\text{Fe}(\text{CO})_5$	0-100	7,70 ± 0,5	29,9 ± 1,0	1687,8	6,5404
$(\text{C}_5\text{H}_5)\text{Mn}(\text{CO})_3$	80-220	9,90 ± 1,4	26,5 ± 1,0	2164	5,836
$\text{Cr}(\text{CO})_6$	100-150	6,2 ± 0,4	19,5 ± 1,0	1355,2	4,2623
$\text{Mo}(\text{CO})_6$	110-160	7,1 ± 0,4	21,6 ± 1,0	1551,9	4,7213
$\text{W}(\text{CO})_6$	120-175	8,1 ± 0,5	24,4 ± 2,0	1770,5	5,3333

Таблица 4. Стандартные энталпии и энтропии мономера и

Соединение		ΔH^0_{298} , ккал/моль
Ni(CO) ₄	(обр.)	124,3 ± 0,7
Fe(CO) ₅	(обр.)	121,0 ± 0,7
Cr(CO) ₆	(субл.)	15,75 ± 0,35
Cr(CO) ₆	(обр.)	167,9 ± 0,7
Mo(CO) ₆	(субл.)	16,45 ± 0,2
Mo(CO) ₆	(обр.)	220,5 ± 0,9
W(CO) ₆	(субл.)	18,45 ± 0,30
W(CO) ₆	(обр.)	249,0 ± 0,9

Примечание. $\frac{\Delta H^0_{\text{д.дим}}}{\Delta S^0_{\text{д.дим}}} = T_{\text{кип.}}$

Таблица 5. Энталпии и энтропии образования карбонилов

Соединение	Твердый	
	ΔH^0_{298} , ккал/моль	ΔS^0_{298} , э. е.
Ni(CO) ₄	39,1 ± 0,5	62,4 ± 1,0
Fe(CO) ₅	41,5 ± 0,5	68,2 ± 1,0
Cr(CO) ₆	89,27 ± 0,45	75,6 ± 0,4
Mo(CO) ₆	79,35 ± 0,52	81,5 ± 0,6
W(CO) ₆	66,79 ± 0,44	86,1 ± 0,6

димера

ΔS°_{298} , э. е.	ΔH°_{298} , ккал/моль	ΔS°_{298} , э. е.
Димер		
98,2 ± 0,8	254,2 ± 2,0	172,2 ± 2,5
105,5 ± 0,8	249,7 ± 2,0	180,1 ± 2,5
37,1 ± 1,5	61,5 ± 1,5	61,5 ± 3,0
116,5 ± 0,2	228,5 ± 2,5	213,6 ± 1,5
39,7 ± 0,4	26,4 ± 1,5	57,4 ± 2,5
121,1 ± 0,2	433,9 ± 2,5	220,6 ± 1,5
42,2 ± 0,7	27,8 ± 1,5	57,1 ± 2,5
128,6 ± 0,2	489,9 ± 2,5	232,8 ± 2,5

металлов из $[M e] + n(CO)$

Жидкий		Газообразный	
ΔH°_{298} , ккал/моль	ΔS°_{298} , э. е.	ΔH°_{298} , ккал/моль	ΔS°_{298} , э. е.
37,8 ± 0,5	75,6 ± 1,2	28,7 ± 0,5	98,2 ± 0,8
38,3 ± 0,9	80,7 ± 1,2	29,0 ± 0,6	105,5 ± 0,8
-	-	72,37 ± 0,5	11,653 ± 0,2
-	-	62,38 ± 0,6	121,08 ± 0,2
-	-	48,46 ± 0,65	128,6 ± 2,5

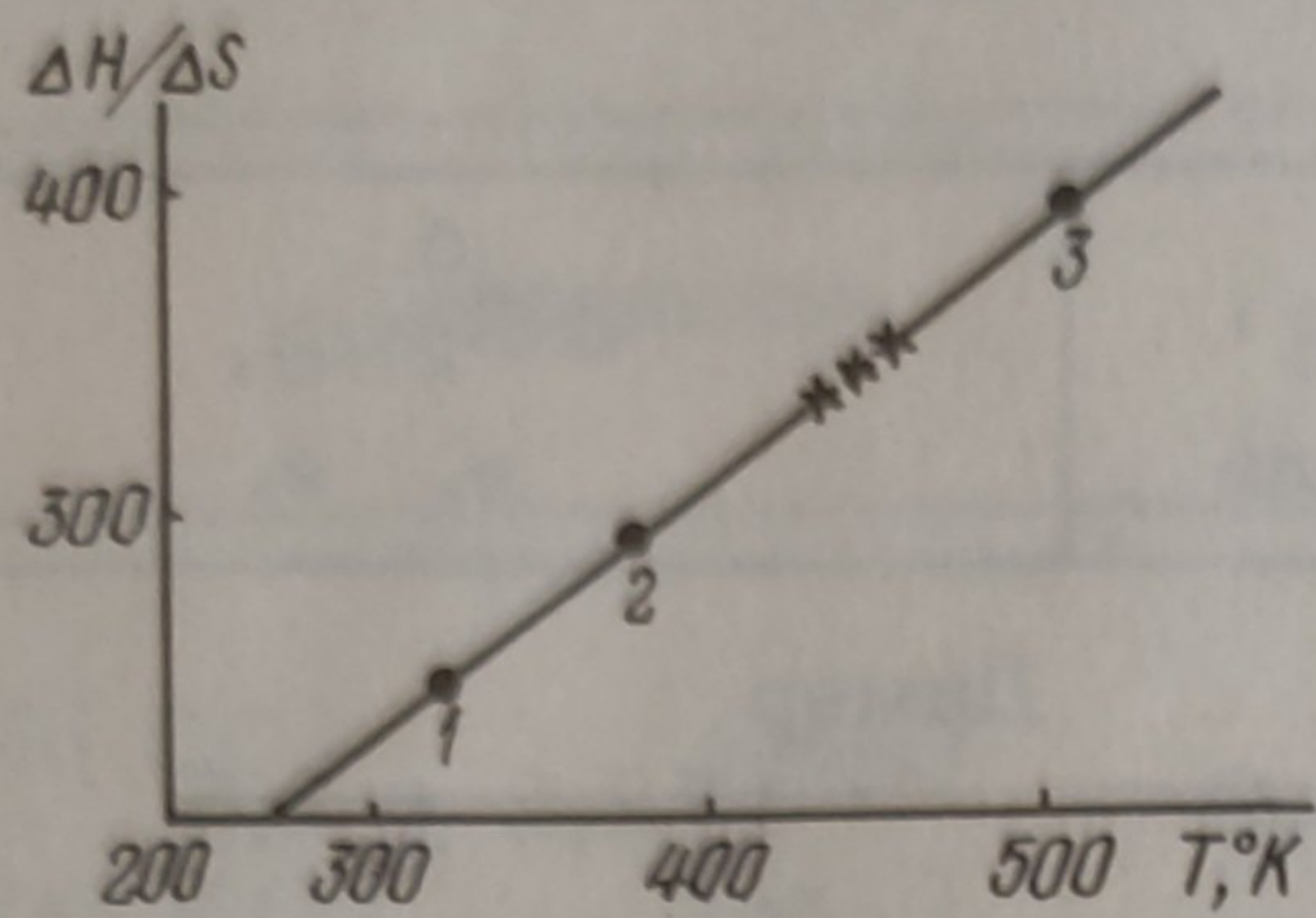


Рис. 1. Зависимость $\Delta H/\Delta S$ диссоциации димерной формы карбонила от температуры кипения:
 1 – $\text{Ni}(\text{CO})_8$; 2 – $\text{Fe}_2(\text{CO})_{10}$; 3 – $(\text{C}_5\text{H}_5)\text{Mn}(\text{CO})_3$.

чающего термодинамическому равновесию. В наших расчетах использованы экспериментально установленные теплоты образования гексакарбонилов, пересчитанные теплоты образования $\text{Ni}(\text{CO})_4$ и $\text{Fe}(\text{CO})_5$ с применением уточненных величин по окислам металлов [9] (табл. 5). Значения энтропии для газообразных $\text{Ni}(\text{CO})_4$, $\text{Fe}(\text{CO})_5$.

Л и т е р а т у р а

1. Баев А.К. Термодинамическое исследование карбонила никеля и пентакарбонила железа. – В сб.: Общая и прикладная химия. М., 1970, вып. 2, с. 146.
2. Баев А.К., Белозерский Н.А., Кричевская О.Д. Термодинамическое исследование карбонила молибдена. – Там же, с. 161.
3. Баев А.К., Демьянчук В.В. Термодинамическое исследование карбонилов хрома и вольфрама. – Там же, с. 167.
4. Баев А.К., Демьянчук В.В. Термодинамическое исследование циклопентадиенилтрикарбонила марганца. – Там же, вып. 3, с. 65.
5. Герасимов Я.И., Шарифов К.А. Константы равновесий реакций образования гексакарбонилов. – Изв. АН СССР, 1956, № 10, с. 29.
6. Демьянчук В.В. Термодинамическое исследование карбонилов металлов. Автореф. канд.дис. – Минск, 1971.
7. Белозерский Н.А. Карбонилы металлов. – М., 1958, с. 267–300.
8. Баев А.К., Гайдым И.Л., Демьянчук В.В. Исследование термического разложения тетракарбонила железа. – В сб.: Общая и прикладная химия. М., 1972, вып. 4, с. 25.
9. Brennan D., Hayes G.H. The adsorption of carbon monoxide on evaporated metal films. – Philosophical Transactions of the Royal Soc. of London, 1965, 258, N 1089, p. 347–373.